

# ИНТЕРКОСМОС

Некоторые результаты научных экспериментов на ракетах  
„Вертикаль 1 и 2“ и на спутниках „Интеркосмос 2 и 5“

Издано в

АН ГДР

Институт Электроники

Редакционная коллегия:

Ю. Рустенбах, К.-Х. Бишофф, Д. Фин.

1974

## ИССЛЕДОВАНИЯ ИОНОСФЕРЫ, ПРОВЕДЕННЫЕ ПРИ ПОМОЩИ СПУТНИКА "ИНТЕРКОСМОС-2"

К.И.Грингауз, К.Б.Серафимов, К.Г.Шмеловский,  
Я.Шмилгаэр

Приводятся основные данные о спутнике "Интеркосмос-2", научной аппаратуре, организации всего эксперимента, об обработке полученных данных, общая характеристика результатов измерений.

### I. Введение

Спутник "Интеркосмос-2" был запущен 25.XII.1969 года (в соответствии с программой совместных исследований космического пространства социалистическими странами) на орбиту с наклонением к экватору  $49^{\circ}$  с перигеем  $\sim 220$  и апогеем  $\sim 1200$  км. В программе научных исследований, проведенных на этом спутнике, главное место занимали исследования локальных параметров ионосферы зондовыми методами; кроме того, для определения полного содержания электронов между спутником и рядом наземных пунктов на нем был установлен передатчик когерентных радиоволн.

В проведении экспериментов непосредственно на спутнике участвовали научные учреждения НРБ, ГДР, СССР и ЧССР; (в ионосферных исследованиях, проведенных при помощи приема когерентных радиоволн, излучавшихся со спутника, и в одновременных наблюдениях при помощи наземных ионосферных станций вертикального зондирования, кроме указанных стран, участвовали также научные учреждения других социалистических стран: ВНР, НР Кубы, ПНР).

Зондовая аппаратура для изучения ионосферы, установленная на спутнике, состояла из:

1. Прибора для измерения концентрации положительных ионов при помощи двух сферических ионных ловушек.
2. Прибора для измерения температуры электронов методом сферического высокочастотного зонда.
3. Прибора для измерения концентрации и температуры электронов при помощи двух цилиндрических зондов Ленгмюра.

Технические задания на разработку и изготовление прибора I были составлены совместно НРБ и СССР, прибора 2 - СССР и ЧССР, прибора 3 - ГДР и СССР; указанные приборы были разработаны и изготовлены в СССР.

Установленный на спутнике передатчик когерентных радиоволн "Маяк" с частотами  $f = 20$  и  $f = 30$  МГц был разработан и изготовлен в ГДР. Болгарские,

немецкие и чехословацкие специалисты участвовали в предстартовых испытаниях упомянутых выше приборов и присутствовали при запуске спутника.

Экспериментальные данные, полученные в результате измерений, выполненных на спутнике при помощи этих приборов, обрабатывались: по ионным ловушкам - в НРБ и в СССР, по высокочастотному зонду - в ЧССР и в СССР, по зондам Ленгмиора - в ГДР и в СССР .

Настоящее сообщение, составленное научными руководителями исследований в каждой из стран, принимавших участие в проведении экспериментов на борту спутника<sup>x)</sup>, имеет целью дать краткие сведения о проведенных экспериментах и общую характеристику результатов измерений; часть полученных результатов в более детальном виде приводится в одновременно публикуемых статьях [1-3].

## 2. Некоторые сведения об экспериментах

Для проведения указанных выше экспериментов был выбран спутник, имеющий только химические источники то-

<sup>x)</sup> В НРБ - доктор К.Серафимов, в ГДР - член-корреспондент АН ГДР, профессор К.Г.Шмеловский, в СССР - профессор К.Гриингауз, в ЧССР - доктор Я.Шмилгауз.

ка, с тем, чтобы в наибольшей возможной степени уменьшить искажения среди спутником при проведении зондовых измерений и имея в виду, что токи солнечных батарей, несмотря на применяемые меры предосторожности, могут создавать магнитные поля, влияние которых на измерения локальных параметров холодной ионосферной плазмы трудно учесть.

Спутник не имел системы принудительной ориентации, однако он был снабжен устройствами, позволявшими определять его ориентацию относительно магнитного поля и направления на Солнце.

В связи с тем, что спутник не ориентирован, для ионных ловушек и высокочастотного зонда была выбрана сферическая форма, при которой зависимость результатов измерений от ориентации зонда наименьшая.

На фотографии спутника "Интеркосмос-2", приведенной на рис. I, можно, в частности, видеть одну из двух сферических ионных ловушек (A) и в.ч. зонд (B).

Сферические ионные ловушки были приборами, при помощи которых начались успешные исследования ионосфера зондовыми методами, и были получены первые распределения концентрации ионосферных заряженных частиц на высотах 500-1000 км (третий советский спутник Земли, май 1958 г. - см [4]). С тех пор сферические ионные ловушки неоднократно применялись как в советских

[ 5 ], [ 6 ], так и в зарубежных (например, [ 7 ], [ 8 ] ) спутниковых ионосферных измерениях. Примененные на "Интеркосмосе-2" сферические ионные ловушки (см.рис.2) имели диаметр 60 мм и были установлены на штангах, удалявших их от поверхности спутника, так что они заранее находились вне слоя объемного заряда, окружающего спутник (см. [ 4 ]). Коллектор каждой ловушки, имеющей диаметр 2,0 см, был окружен антифотоэлектронной сеткой диаметром 2,6 см. На внешние сетки ловушек относительно корпуса спутника подавалось пилообразное напряжение, менявшееся за 5,3 сек от -5,0 до +12,9в. Для того чтобы при подаче положительных потенциалов на внешние сетки ловушек изменение потенциала спутника относительно окружающей плазмы за счет тока ионосферных электронов, собираемых внешней сеткой, было минимальным, пилообразные напряжения на ловушки подавались поочередно (в то время как на одной ловушке снималась вольт-амперная характеристика, на внешнюю сетку другой подавалось постоянное отрицательное напряжение). Определение концентрации положительных ионов велось с использованием метода, предложенного в [ 4 ] по наклону вольт-амперной характеристики).

В составе аппаратуры, установленной на спутнике, имелось запоминающее устройство, позволявшее консервировать результаты измерений за время полного оборота

спутника вокруг Земли (с последующей передачей информации по радиотелеметрической линии связи). Ионные ловушки были в числе приборов, данные которых не только передавались при непосредственной радиотелеметрической связи, но и регистрировались при полете спутника вне зоны видимости приемных радиотелеметрических пунктов. Это позволило, в частности, получить данные об экваториальной аномалии во внешней ионосфере и области  $F$ , публикуемые в [I].

Одной из основных задач экспериментов на спутнике "Интеркосмос-2" являлось измерение температуры ионосферных электронов  $T_e$  вдоль орбиты спутника. Величина  $T_e$  весьма чутко реагирует на основные физические процессы, происходящие в ионосфере, и ее изучение помогает решению столь важных вопросов как причина существования ночной ионосферы, связь области  $F$  с плазмосферой, поступление фотоэлектронов из магнито-сопряженной области ионосферы, неустойчивости ионосферной плазмы и т.п. Опубликованные до настоящего времени данные о  $T_e$ , носящие глобальный характер, (полученные со спутников "Эксплорер 22", 31 и 32, см [9], [10], [II]) являются неполными - они относятся к большим высотам ( $\geq 1000$  км) и к минимуму солнечной активности. Данные  $T_e$ , полученные методом некогерентного рассеяния, относятся лишь к небольшому

числу пунктов, в которых расположены соответствующие обсерватории; ракетные данные  $T_e$  носят эпизодический характер.

Отсутствие достаточно многочисленных и надежных сведений о распределении электронной температуры является препятствием для создания модели ионосферы. Об этом, в частности, свидетельствуют опубликованные в 1970 и 1971 гг. сообщения Комиссии по созданию Международной модели ионосферы [12], [13].

Для получения орбитальных распределений  $T_e$  на спутнике использовался метод сферического в.ч. зонда, являющийся модификацией метода, впервые примененного при ракетных ионосферных экспериментах в Японии в 1961 г. При интерпретации результатов этого эксперимента использована теория, несколько более развитая, чем в последних публикациях о более поздних японских экспериментах [14]. Примененные при обработке результатов измерений соотношения позволяют учесть конечное входное сопротивление прибора, и уменьшают погрешности измерений  $T_e$ . Более подробно об этом см [2].

Примененный для измерения  $T_e$  сферический зонд (рис.3) имеет диаметр 3 см, и расположен на штанге, удаляющей его от корпуса спутника на 50 см (см.рис.1). Частота в.ч. напряжения, питавшего зонд, 50 кГц; величина  $T_e$  определяется один раз в 3,6 сек; величи-

ны подаваемых на зонд напряжений 0,24 и 0,48 в. Подробнее прибор описан в [ 2 ].

На спутнике были установлены 2 взаимно перпендикулярных цилиндрических зонда, удаленных от корпуса при помощи штанги на расстояние 50 см. Каждый из зондов (рис.4) диаметром 6 мм и длиной 20 мм, располагался между двумя охранными секциями; суммарная длина зонда и охранных секций составляла 110 мм; два взаимно перпендикулярных зонда были применены для проверки влияния на измерения геомагнитного поля. Напряжения на зондах менялись по пилообразному закону от -3 до +11 в за 3,8 сек; также как и ионные ловушки (по той же причине) зонды использовались поочередно.

Результаты измерения  $T_e$  регистрировались при непосредственной радиотелеметрической передаче, так и в режиме орбитального запоминания, что позволило получить распределения  $T_e$  глобального характера. Тот же сферический зонд использовался для изучения вариаций электрического потенциала спутника относительно окружающей его плазмы (см. [ 2 ] ).

Как отмечалось, измерения концентрации электронов  $N_e$  и  $T_e$  проводились методом зонда Ленгмюра. Однако эти измерения проводились только во время непосредственной радиотелеметрической передачи в зонах прямой видимости спутника с наземных приемных пунктов, т.е. в ограни-

ченных интервалах высот и геомагнитных широт. Эти измерения, однако, важны, так как они позволили на некоторых участках орбит спутника сравнивать результаты одновременных измерений величин  $n_i$  (при помощи ионных ловушек) и  $n_e$  (которые должны быть равны из-за нейтральности ионосфера и отсутствия отрицательных ионов в изучаемой области), а также величины  $T_e$ , определенные двумя независимыми методами — в.ч. зонда и зонда Ленгмюра.

Передатчик когерентных радиоволн "Маяк" имел на каждой из частот выходную мощность  $\sim 100$  мвт.

Результаты зондовых измерений локальных величин  $n_e$  (или  $n_i$ ) вблизи спутника могут быть использованы для построения вертикальных распределений  $n_e(h)$  до высот спутника совместно с данными, полученными при помощи наземных наблюдений когерентных радиоволн, излучаемых со спутника передатчиком "Маяк" и с данными наземных ионосферных станций вертикального зондирования, расположенных вблизи проекции орбиты спутника на Землю. Измерения на Земле разности фаз когерентных радиоволн "Маяка" (или измерения эффекта Фарадея) позволяют, как известно, определить полное содержание электронов на луче зрения от пункта наблюдения до спутника (см., например, [15] или [16]). Ионосферные станции позволяют определить вертикальное распределение  $n_e(h)$

(ниже главного максимума  $n_e$ ). Очевидно, что достаточно близким к реальному будет вертикальное распределение  $n_e$ , построенное таким образом, чтобы оно одновременно удовлетворяло данным, полученным ионосферной станцией, значению полного содержания электронов до высоты спутника, определенному по наблюдению когерентных радиоволн, и локальному значению  $n_e$  (или  $n_i$ ), определенному при помощи зондов, установленных на самом спутнике.

### 3. Краткая характеристика полученных результатов

Работа приборов на спутнике продолжалась 56 суток, в течение которых было произведено 229 сеансов непосредственной радиосвязи; была воспроизведена информация, которая консервировалась при помощи запоминающего устройства во время 109 полных оборотов спутника вокруг Земли.

При помощи ионных ловушек получены распределения концентрации положительных ионов вдоль орбиты спутника; в этих распределениях во многих случаях наблюдается хорошо выраженный эффект экваториальной аномалии в области F и внешней ионосфере, причем, в отличие

от ранее опубликованных результатов, этот эффект часто наблюдается на высотах более 900 км в ночной ионосфере.

Измерения электронной температуры в ионосфере посредством высокочастотного сферического зонда дополняют имеющиеся представления о глобальных тепловых свойствах ионосферы.

Наиболее детально обработаны результаты измерений  $T_e$ , относящиеся к зимней ионосфере на высотах 650-1100 км в области значений параметра Мак Иллуайна от 1,3 до 2,2.

Ночные значения  $T_e$  в этой области лежат в интервале 1200-1600°К.

Как известно, существенный вклад в преддассветное повышение  $T_e$  дают потоки фотоэлектронов из магнитно-сопряженной области ионосферы. Согласно измерениям, проведенным в указанной области ( $h \approx 650-1100$  км,  $L \approx 1,3-2,2$ ), среднее значение зенитного угла Солнца в сопряженной области, при котором начинается рост  $T_e$ , составляет 103°.

Днем температура в указанной области ионосферы 2500+3500°К.

Сопоставление с ранее опубликованными данными о величинах  $T_e$  в годы низкой солнечной активности [2] свидетельствует в пользу слабой зависимости  $T_e$  во

внеш  
иос  
рассе  
зени  
Из  
данн  
велич  
харак  
Об  
прове  
закон

внешней ионосфере от фазы цикла солнечной деятельности  
и о сдвиге с ростом солнечной активности начала пред-  
рассветного повышения температуры в сторону больших  
зенитных углов (в сопряженной области) от 98 до 103°.

Измерения при помощи зондов Ленгмюра дали ценные  
данные о величинах концентрации заряженных частиц и  
величинах  $T_e$  для сопоставления с аналогичными  
характеристиками, полученными другими методами.

Обработка и интерпретация результатов измерений,  
проведенных на спутнике "Интеркосмос-2", еще не  
закончена, и их публикация будет продолжена.

ЛИТЕРАТУРА

- I. Г.Л.Гдалевич, Б.Н.Горожанкин, И.Кутиев, Д.Самарджиев, К.Серафимов. ( Наст. сборник) См.также Косм.Иссл. 11, N<sup>2</sup> 245 (1973).
2. А.В.Афонин, Г.Л.Гдалевич, К.И.Грингауз, Я.Кайнарова, Я.Шмилауэр. (Наст. сборник) См.также Косм.Иссл. 11, N<sup>2</sup>, 254 (1973).
3. К.Бишоф, Г.Л.Гдалевич, В.Ф.Губский, Г.Циммерман ( Наст. сборник) См.также, Косм.Иссл. 11, N<sup>2</sup>, 267 (1973).
4. К.И.Грингауз, В.В.Безруких, В.Д.Озеров. В сб.: "Искусственные спутники Земли", вып.6, изд-во АН СССР, 1961, стр.63.
5. K.I.Gringauz, B.N.Gorozhankin, G.L.Gdalevich, N.M.Shuttle, R.E.Rybchinsky, V.V.Afonin. Space Res., 5, 773 (1965).
6. В.В.Афонин, Т.К.Бреус, Г.Л.Гдалевич, Б.Н.Горожанкин, К.И.Грингауз, Р.Е.Рычинский, Н.М.Шютте, В сб.: "Исследования космического пространства", М., изд-во "Наука", 1965, стр.151.
7. R.I.F.Boyd, W.J.Reitt, Space Res. 5, 207 (1965).
8. R.C.Sagalin, M.Smiddy, Y.N.Bhargava, Space Res. 5, 189
9. L.H.Brace, B.M.Reddy, J.Geoph.Res., 70, 5783 (1965).
10. B.C.N.Rao, E.J.R.Maier, J.Geoph.Res., 75, 816 (1970).
- II. P.Bauer, G.Lejeune, M.Petit, Planet.Space Sci., 18, 1447 (1970).
12. K.Rawer, COSPAR Bulletin N 56, December 1970, p.86.

- I3. K.Rawer, URSI Bulletin N 180, September 1971, p.24.
- I4. K.Hirao, K.Oyama, presented at COSPAR, Leningrad, May 1970
- I5. Н.А.Митяков, Э.Е.Митякова, Геомагн. и аэрон.,  
3, № 5, 558(1963).
- I6. K.H.Schmelovsky, D.Felske, Space Res.VII, v.2, p.1370,  
Amsterdam 1967.

Подписи к рисункам

Рис.1. Внешний вид спутника "Интеркосмос-2".

А - сферическая ионная ловушка,

В - высокочастотный зонд.

Рис.2. Сферическая ионная ловушка.

Рис.3. Сферический высокочастотный зонд для определения  
электронной температуры.

Рис.4. Цилиндрический зонд Ленгмюра.

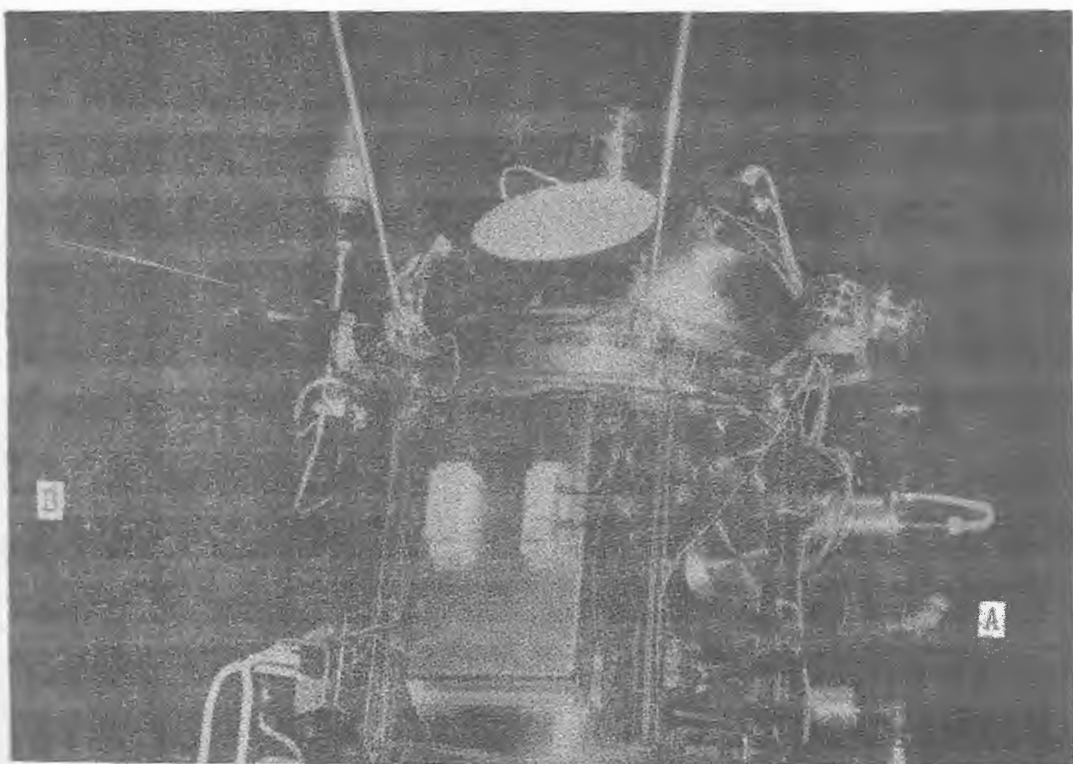


Рис. I

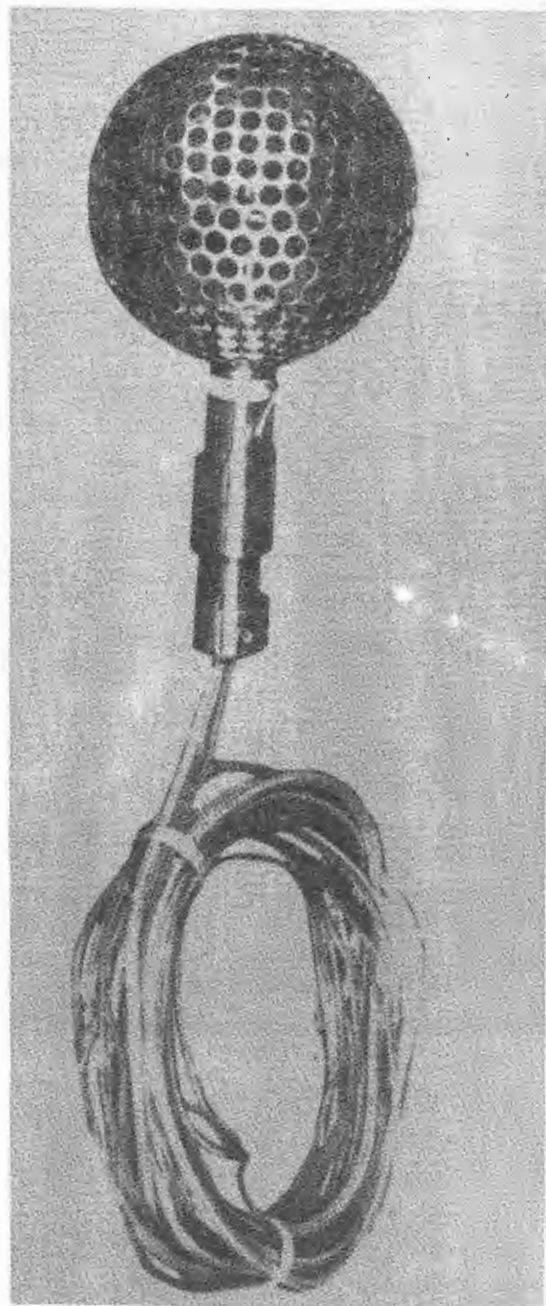


Рис. 2

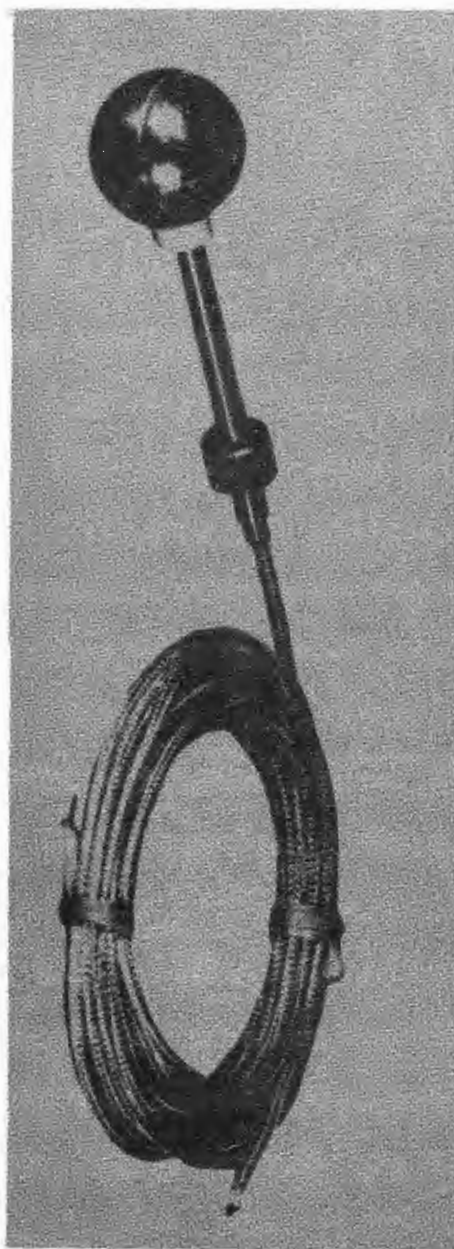


Рис. 3

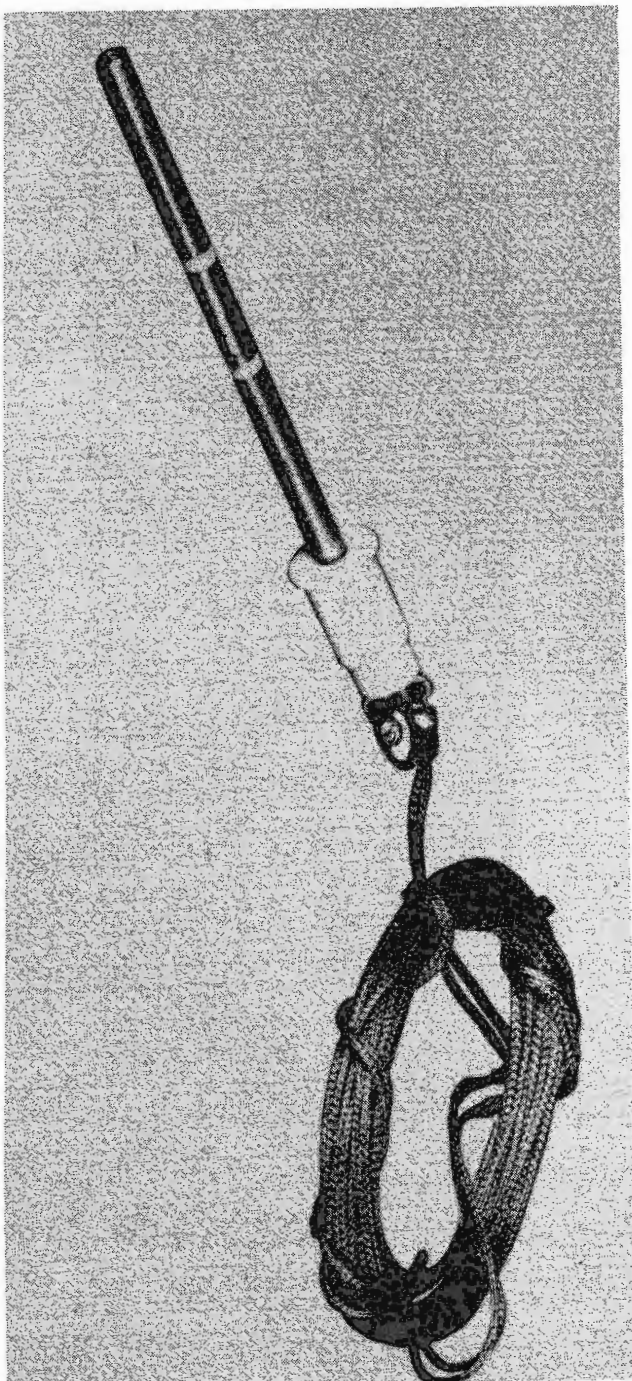


Рис. 4